

IV-1

繰返し荷重を受けるシラスの性状について

九州大学工学部

正員

山内豊勝

同 大学院

学生員

〇村田秀一

1. まえがき

シラスは自然状態においては、垂直に近い斜面で安定しており、半固結砂質の岩相を示しているまた、乱したものは单なる砂質の粒状体である。その強度成分は、乱さない状態では地質的固結効果、粒子間の内部摩擦およびシラス粒子の形状の特異性によるインターロッキング効果が、その主なものであり、乱したもののは構造が乱され、固結効果や粒子の方向性などによる強度成分を失うために両状態における工学的性質を異にすると思われる。シラスを工学的に大別すると (a) 亂したシラス(二次シラス) (b) 亂さないシラス(一次シラス) (c) 軽石(軽石流)で、おのおの性質がかなり異質のものもある。強度は (a), (b), (c) の順に強くなり、軽石においてはほとんど岩盤に似た挙動を示す。昭和43年2~3月のえびの地震で、繰返しの地震動を受けたもの、自然シラス層のガケの崩壊が大規模に起つた。このようないシラス層の耐震問題；また九州縦貫道路が南九州のシラス地帯に建設されることになり、道路の基盤の乱したシラス、乱さないシラスの挙動が問題になる。このような問題の究明を行うのが本実験的研究の目的で、あわせてこれらの動的特性、強度特性を明らかにしておきたいのである。第一報として (a) 亂したシラス (b) 亂さないシラスについて報告する。

2. 試料、供試体および実験方法

実験に用いたシラスは鹿児島県国分市において採取したもので、半ば溶結した密度の高いものであった。その粒度組成はレキ分2%，砂分71%，シルト分23%および粘土分4%である。粒子の形状は玻璃(ナリ)状で、粗粒部分では角が鈍くなっている。細粒にはさみにしたがって角張った扁平のものとなる。

表-1 試料の指標的性質

	乱さないシラス	乱したシラス
土粒子の比重	2.475	
土粒子の均等係数	15.5	
見かけの密度	1.83 g/cm ³	1.75 g/cm ³
乾燥密度	1.48 "	1.40 "
含水比	21.0 %	21.0 %
飽和度	86.6 "	76.4 "
最適含水比	23.8 %	
最大乾燥密度	1.40 g/cm ³	
間ゲキ比	0.600	max 1.20 min 0.080

試料の指標的性質を表-1に示してある。

(a) 亂した供試体、乱さないシラスで三軸繰返し試験をした後、含水比を自然状態のそれと同じ21%に調整し、径3.5 cm、高さ8.5 cmで、間ゲキ比が0.700に対するように三層に充填して作成する。(これは乱した状態で最も密な状態である。)

(b) 亂さない供試体、現地置において、内径3.5 cm、高さ

12.0 cmの真エバ製のサンプラーをシラス層に垂直に静かに打ち込み採取する。自然状態での間ゲキ比は約0.600で、含水比21%である。(表-1参照) この間ゲキ比は乱したものの最小値よりも更に小さな値である。これを乱すことなく注意深く、試料抜取り器でとり出し径3.5 cm、高さ9 cmの供試体を作成する。

乱したシラス、乱さないシラスにそれぞれ、側圧(拘束圧)0.5, 1.0, 1.5 kg/cm²の3段階にとり軸差応力をそれぞれ変えて、繰返し載荷2秒、載荷除荷時間比1:1として、三軸の連続繰返し載

荷試験を行った。

3. 試験結果および考察

図-1 (a)(b) は乱したシラス、乱さないシラスに側圧 $G_3 = 1.5 \text{ kg/cm}^2$ で繰返し載荷試験を行い、繰返し応力に対する繰返し載荷回数と全ヒズミ・残留ヒズミとの関係の代表的曲線である。図-2 は $G_3 = 0.5 \text{ kg/cm}^2$ のときの同じ結果で、乱したシラス、乱さないシラスと対比して示してある。

a) 亂したシラス。図-1 (a)からわかるように、載荷回数の進行とともに漸次沈下が進んでいる。また試験後の供試体には全くセン断面がみられず、繰返し応力の大きい場合に、供試体中央付近にふくらみができる程度である。供試体は人工的に最も密に締固めではあるが、繰返し載荷によってさらに硬化現象が起り、高密度化される。その後、続けて繰返し載荷を受けると塑性領域に達し、ヒズミの速さ $dc/dN \rightarrow \text{const.}$ になる。この点は実験上、供試体を観察しているとなお明確である。このように塑性領域に達したと思われる供試体をスケッチしたのが図-1 (b) に示してある。この状態では供試体内部にすべりが発生し載荷回数とともにそれが拡大してゆくためであって、いわゆる塑性流動の状態が生じていて、耐荷の極限とみなせるので、乱したシラスの破壊点とする。このようすをこから、乱したシラスの破壊は分離破壊、あるいは塑性流動破壊に属するといえよう。

b) 亂さないシラス。乱さないシラスではある載荷回数まで変形はかなり弾性的であるが、急にセン断面が現われると、クラックを生じて破壊する。このように弾性的な挙動から、急に変形の速さ $dc/dN \rightarrow \infty$ になる点と破壊点とみなす。そのときの供試体のスケッチを図-1 (b) に示した。したがって乱さないシラスの破壊はゼイ性破壊であると思われる。

c) 載荷応力-載荷回数曲線。図-3 (b) に乱したシラスと乱さないシラスの種々のヒズミ量に対する繰返し載荷回数と載荷応力との関係を示した。また図-4 に乱したシラスと乱さないシラスの破

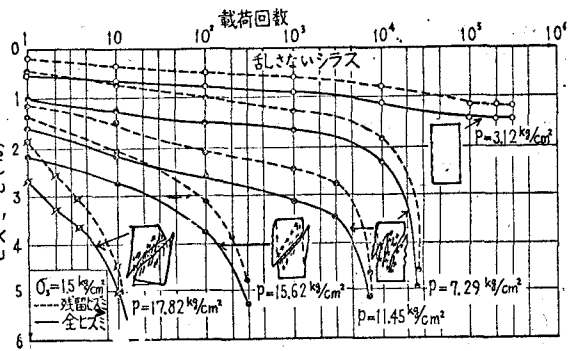
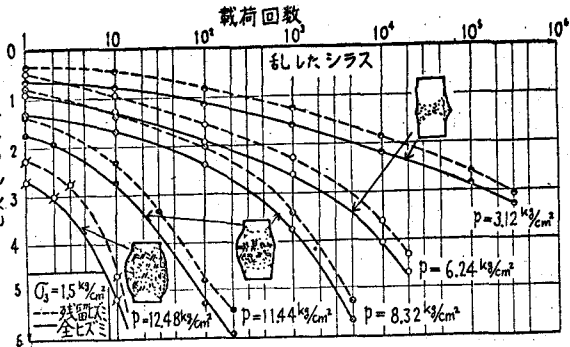


図-1 亂したシラスと乱さないシラスの種々の荷重強さに対する繰返し回数と全ヒズミ・残留ヒズミの関係

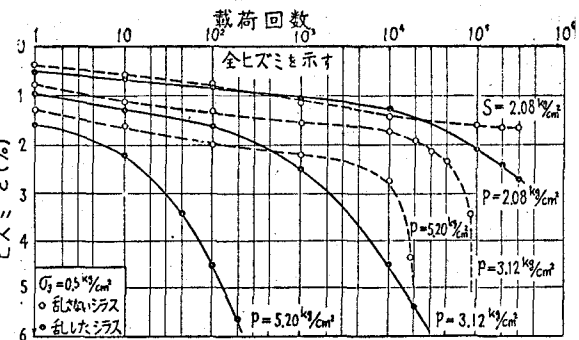


図-2 乱したシラス・乱さないシラスの ε - N 曲線

壞失に対する繰返し載荷回数と載荷応力との関係を示してある。図-4からわかるように乱さないシラスには疲労限が現われていて、また図-3(b)の $\varepsilon = 2\%$ の曲線と破壊点附近と思われる $\varepsilon = 4\%$ の曲線の曲率が逆になっている。この傾向が $(f_1-f_3) = 7\sim 15 \text{ kg/cm}^2$ ($f_3 = 1.5 \text{ kg/cm}^2$)の範囲で着しい。つまりヒズミ量2%から破壊点に至るまで更に十分な載荷回数が必要であることから乱マリエシラスは乱したシラスよりもかくに耐荷力があり、乱したシラスより強度を増大する因子があることがわかる。載荷応力が 5 kg/cm^2 以下においてはシラス特有の固結効果が十分に働いていて安全で、かえって土の変形に対する抵抗は増大するとみてよからう。載荷応力 15 kg/cm^2 以上ではやはり固結効果による抵抗は1回目の載荷で失い、載荷回数10~100回程度で完全に破壊する。図-3(a)の乱したシラスの一連の曲線は(b)の乱さないシラスのそれよりかなり平行である事から、このまゝ繰返し載荷に対しては有効に抵抗し得るようでは固結効果(インターロッキング効果)は働かないと思われる。また破壊点(図-4)は図-3(a)の一連のヒズミ量の曲線のこう配より右下がりの直線になっている。つまり高い載荷応力のまゝではヒズミ量が3%以上で、また、低い応力のまゝではヒズミ量が2%以下において破壊している。

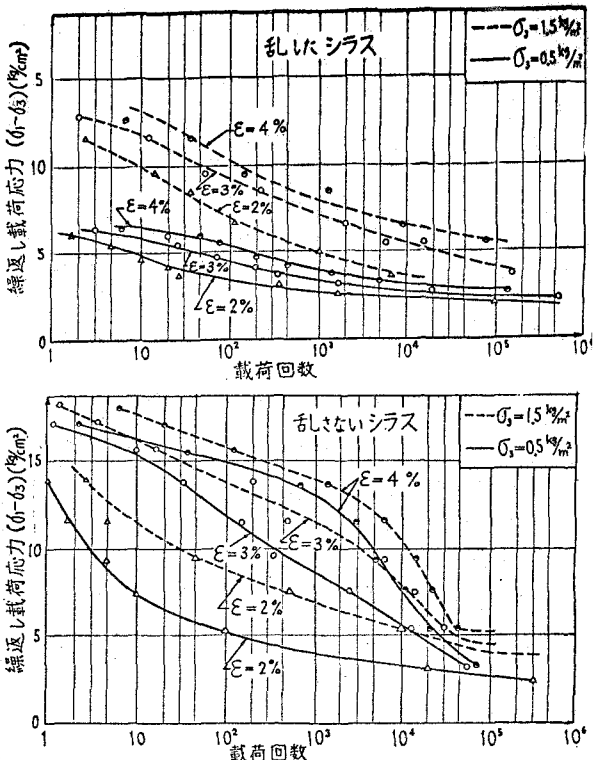


図-3 亂したシラスと乱さないシラスの種々の全ヒズミ量に対する繰返し応力と載荷回数との関係

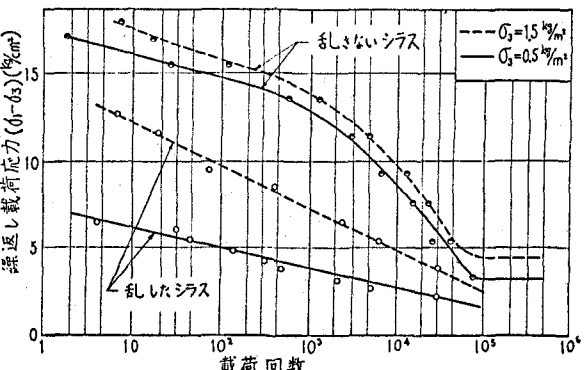


図-4 亂したシラス・乱さないシラスの破壊点に対する繰返し応力と載荷回数との関係

d) 側圧(拘束圧の影響)の影響。一軸強度は乱したシラスで 15.6 kg/cm^2 、乱マリエシラスで 10.0 kg/cm^2 であるから図-4を利用すれば、破壊するとその繰返し載荷応力は載荷回数10回において拘束圧 $f_3 = 1.5 \text{ kg/cm}^2$ のとき、乱したシラスで一軸強度の4.8倍(12.2 kg/cm^2)、乱マリエシラスで1.7倍(17.7 kg/cm^2)、 $f_3 = 0.5 \text{ kg/cm}^2$ では乱したシラスは2.4倍(6.0 kg/cm^2)、乱マリエシラスで1.6倍(16.0 kg/cm^2)となる。以下載荷回数10回程度までこの傾向は続く。しかし載荷回数100回においては、 $f_3 = 1.5 \text{ kg/cm}^2$ のときは乱したシラスで2倍(4.8 kg/cm^2)、乱マリエシラスで1倍(

2.6 kN/cm^2 , $\delta_3 = 0.5 \text{ kN/cm}^2$ では、乱したシラスで 1 倍 (2.6 kN/cm^2)、乱さないシラスで 0.9 倍 (8.6 kN/cm^2) となる。したがって、乱したシラスは 拘束圧の影響を著しく受けるので、拘束圧を上げることにより乱したシラスの繰返し載荷に対する 耐荷力の増大が期待出来る。しかし乱さないシラスは破壊点附近では拘束圧に余り影響がない。従って乱さないシラスの拘束圧による影響を究明するには、従来の三軸試験柱より、高圧をかけられる装置を具備したものでなければならぬ。)

e) 現位置試験との比較 現位置(鹿児島県肝属郡志布志町)

における繰返し載荷試験結果を図-5 に示す。試験方法は固結シラスとニセシラスの二個所にピットを掘り径 60 cm の載荷盤を両面にあて、水ギオ向にジャッキをかける方法である。載荷要領は固結シラスにおいて第一サイクル $0 - (15 \text{ sec}) \rightarrow 3.5 \text{ kN/cm}^2 (30 \text{ sec}) - (10 \text{ sec}) \rightarrow 0 (30 \text{ sec}) - (15 \text{ sec}) - 3.5 \text{ kN/cm}^2 (60 \text{ sec}) \rightarrow 30 \text{ 回繰返し後第ニサイクル } 0 - (15 \text{ sec}) \rightarrow 7.00 \text{ kN/cm}^2 (30 \text{ sec}) - (10 \text{ sec}) \rightarrow 0 (30 \text{ sec}) - (15 \text{ sec}) - 7.00 \text{ kN/cm}^2 (60 \text{ sec}) \rightarrow 30 \text{ 回繰返し後結果である。粗粒シラス、細粒シラスにおいては第一サイクルで荷重強さ } 1.05 \text{ kN/cm}^2, \text{ 第ニサイクル } 2.12 \text{ kN/cm}^2 \text{ で他は固結シラスと同じである。}$

4.まとめ

- 1) 亂したシラスは繰返し載荷により、塑性流動的破壊を示し、変形の速さ $dc/dN \rightarrow \text{const.}$ なる実耐荷の極限とみなし得る。
- 2) 亂さないシラスは繰返し載荷により、ゼイ性破壊を示し、変形の速さ $dc/dN \rightarrow \infty$ なる実破壊点とみなし得る。
- 3) 繰返し載荷荷重-載荷応力曲線において、乱したシラス、乱さないシラスの破壊曲線の曲率が逆になっている。また乱さないシラスの $\delta = 2\%$ の線から破壊曲線に至るにはかなりの載荷回数が必要である。このように繰返し載荷試験によって乱したシラスと乱さないシラスの性質の差異がいっそう強調される。
- 4) 亂したシラスは拘束圧の影響を著しく受け、拘束圧が大きくなれば強度も増大する。乱さないシラスは拘束圧 $\delta_3 = 0.5 \sim 1.5 \text{ kN/cm}^2$ の範囲においては、拘束圧には余り影響を受けない。
- 5) 図-4 は乱したシラスおよび乱さないシラスの繰返し荷重に対する設計強度の決定に利用できる。

謝辞 この実験については、建設省久留米技術事務所および鹿児島国道工事事務所の援助を受けたほか、鹿児島工業高等専門学校・土木工学科に多くの便宜を計っていた。併せて深甚の謝意を表するものである。

- 文献
- 1) 土質工学会シラス研究委員会：えびの地震と地震災害、土と基礎 1968 No. 542 2) 山内、村田、能戸；えびの地震におけるシラス問題について 土質工学会第3回研究発表会講演集、昭. 43. 5. 3) 能戸；現場におけるシラスの繰返し載荷試験について 第8回土質工学会シラス研究委員会講演

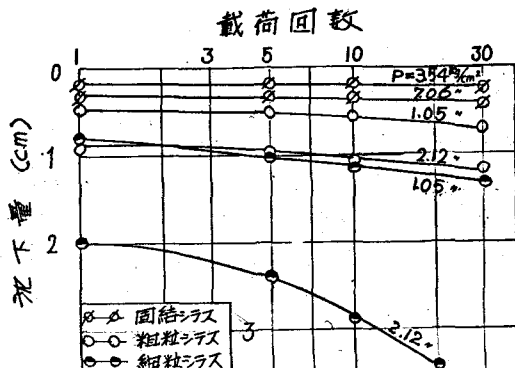


図-5 現位置によるシラスの繰返し試験による荷重強さに対する載荷回数と沈下量の関係